

川崎製鉄技報  
KAWASAKI STEEL GIHO  
Vol.13 (1981) No.3

---

高 Mn 非磁性鋼の開発  
Developmet of High Manganese Non-magnetic Steels

佐々木 晃史(Terufumi Sasaki) 渡辺 健次(Kenji Watanabe) 野原 清彦(Kiyohiko Nohara) 小野 寛(Yutaka Ono) 近藤 信行(Nobuyuki Kondo) 佐々木 徹(Toru Sasaki) 佐藤 周三(Shuzo Sato) 一瀬 功(Isao Ichise)

---

要旨：

広範な需要・用途に適用しうる新しい高 Mn 非磁性鋼を開発することを目的として、基本成分としての C および Mn が透磁率、熱膨張係数ならびに機械的性質に及ぼす影響を調べた。また本鋼の現場製造技術を確立し、工程材の諸特性を把握するため、真空誘導炉溶製した 5t 鋼塊から H 形鋼、丸棒、異形棒鋼を現場工程で製造した。その結果、いずれの製品においても優れた特性が得られることが確かめられた。さらに実製品への応用例として連続鋳造機電磁攪拌装置付属のピンチロール用非磁性材をとりあげ、前述の現場工程材とあわせて低温（-196°C）から高温にわたる機械的・物理的性質ならびに溶接継手性能などについて論述した。

---

Synopsis :

In order to develop new high manganese non-magnetic steels that can be employed to extensive applications ranging from cryogenic to elevated temperatures, effects of C and Mn on magnetic permeability, thermal expansion coefficient and mechanical properties are investigated. It is found that the relation between thermal expansion coefficient,  $\beta$ ,  $10((-6)^{\circ}\text{C}(-1))$  and both C and Mn is expressed by the following linear regression equation:  $\beta, (10(-6)^{\circ}\text{C}) = 17.66 + 3.82\text{C}(\%) - 0.22\text{Mn}(\%)$  Good mechanical properties are exhibited in the wide range of Mn contents between 18 and 30% at room temperature, while there is a tendency that this optimum range of Mn content is reduced at cryogenic temperatures. Then, H-shapes, round bars and deformed bars are manufactured at the workshops using 5t vacuum melted ingots, aiming to establish production process and to study physical and mechanical properties, machinability and weldability of the products. As a result, it is shown that any of these products have excellent properties as non-magnetic steels. In addition, the manufacture of non-magnetic pinch rolls attached to the electro-magnetic stirring equipment on a continuous casting machine is described in detail as one of prectical applications of high manganese non-magnetic steels.

本文は次のページから閲覧できます。

# 高Mn非磁性鋼の開発

Development of High Manganese Non-magnetic Steels

佐々木 晃史\*  
Terufumi Sasaki

渡辺 健次\*\*  
Kenji Watanabe

野原清彦\*\*\*  
Kiyohiko Nohara

小野 寛\*\*\*\*  
Yutaka Ono

近藤信行\*\*\*\*\*  
Nobuyuki Kondo

佐々木 徹\*\*\*\*\*  
Toru Sasaki

佐藤周三\*\*\*\*\*  
Shuzo Sato

一瀬 功\*\*\*\*\*  
Isao Ichise

## Synopsis:

In order to develop new high manganese non-magnetic steels that can be employed to extensive applications ranging from cryogenic to elevated temperatures, effects of C and Mn on magnetic permeability, thermal expansion coefficient and mechanical properties are investigated.

It is found that the relation between thermal expansion coefficient,  $\beta$ , ( $10^{-6} \text{ }^{\circ}\text{C}^{-1}$ ) and both C and Mn is expressed by the following linear regression equation:

$$\beta (10^{-6} \text{ }^{\circ}\text{C}) = 17.66 + 3.82 \text{ C (\%)} - 0.22 \text{ Mn (\%)}$$

Good mechanical properties are exhibited in the wide range of Mn contents between 18 and 30% at room temperature, while there is a tendency that this optimum range of Mn content is reduced at cryogenic temperatures.

Then, H-shapes, round bars and deformed bars are manufactured at the workshops using 5t vacuum melted ingots, aiming to establish production process and to study physical and mechanical properties, machinability and weldability of the products. As a result, it is shown that any of these products have excellent properties as non-magnetic steels.

In addition, the manufacture of non-magnetic pinch rolls attached to the electro-magnetic stirring equipment on a continuous casting machine is described in detail as one of the practical applications of high manganese non-magnetic steels.

## I. 緒 言

高Mn鋼は從來ハドフィールド(Hadfield)鋼と呼ばれ、耐摩耗鋼としてよく知られている<sup>1,2)</sup>。他方、この鋼はオーステナイト系ステンレス鋼と

ともに非磁性鋼としても使用される。近年核融合発電実験施設(JT-60)の建設ならびに将来計画案の発表や、国鉄の超電導磁気浮上式鉄道の開発実験などを契機にして、構造用鋼としての高Mn非磁性鋼への期待が急速に高まっている<sup>3)</sup>。その理由として以下の事情が挙げられよう。  
 ①加工や熱

\* 技術研究所特殊鋼研究室主任研究員・理博

\*\* 技術研究所特殊鋼研究室

\*\*\* 技術研究所特殊鋼研究室主任研究員・工博

\*\*\* 技術研究所特殊鋼研究室室長

\*\*\*\* 技術研究所水島研究室主任研究員

\*\*\*\*\* 水島製鐵所管理部主査(副部長待遇)

\*\*\*\*\* 水島製鐵所鍛鍊部鍛鍊課課長

(昭和56年2月27日原稿受付)

処理に対して非磁性状態が安定していること、②室温近傍における熱膨張係数が成分組成の調整によりオーステナイトステンレス鋼の程度（約 $18 \times 10^{-6} \text{C}^{-1}$ ）から普通鋼の程度（約 $12 \times 10^{-6} \text{C}^{-1}$ ）かまたはそれ以下に種々制御できること、③高強度が得られること、④低温での機械的性質に優れた鋼種が得られること、⑤安価であること、などである。

しかし従来の Hadfield 鋼では、磁気的安定性がよくない、熱膨張係数が大きい、機械加工性や熱間および冷間加工性が劣る、などの欠点があった。これらの欠点を改良して、構造用鋼としてばかりでなく極低温（液体窒素温度またはそれ以下）用から高温用まで広範囲に適用できる材料開発が求められるようになった。

これらの要請に対応して開発基礎実験ならびに現場製造実験を行い、それぞれの目的に応じた高 Mn 非磁性鋼を開発することができた。以下にその結果について述べる。

## 2. 実験用小型鋼塊による開発基礎実験

### 2・1 実験目的

高 Mn 非磁性鋼の透磁率や熱膨張係数ならびに機械的性質に及ぼす C, Mn などの基本成分と種々の添加元素の影響を把握することによって、広範な需要・用途に適用しうる材料開発を行うことを目的として、まず実験用小型鋼塊による開発基礎実験を行った。

### 2・2 実験方法

この開発基礎実験では、本鋼の基本成分である C と Mn を取りあげ、C : 0.01~1.0 %, Mn : 10~50 % の種々の成分組成からなる 10~30kg 鋼塊を溶製し、さらに C および Mn の特定の成分系における種々の合金元素の添加効果について調べた。しかし高 Mn 鋼の性質は、基本的には C および Mn によって特徴づけられるので、以下には C および Mn の透磁率や熱膨張係数ならびに機械的性質に及ぼす影響について述べる。種々の添加元素の諸性質への影響については、別の機会に詳しく報告する予定である。実験では、真空溶製した

10~30kg 小型鋼塊を熱間圧延により 8~25mm 厚とし、圧延のままおよび溶体化・水鍛処理後のそれぞれの試料を各種試験に供した。熱膨張は 5 φ × 50mm の丸棒試験片により、差動トランス方式で測定した。透磁率  $\mu$  は、大部分 5 φ × 7mm サイズの試片または類似サイズの小片試料を用い、振動料型磁力計で磁化測定を行い、以下の式により算出した。

$$\mu = 1 + 4 \pi x \rho$$

ここで  $x$  は磁化率、 $\rho$  は密度である。なお実験に用いた最高磁場は 1 T (テスラ) である。

### 2・3 実験結果

#### 2・3・1 透磁率

溶体化・水鍛処理材について、非磁性鋼としての基本特性である透磁率に及ぼす C および Mn の影響を、1100°C における Fe-Mn-C 切断平衡状態図<sup>4,5)</sup>上に表わすと、Fig.1 のようになる。この

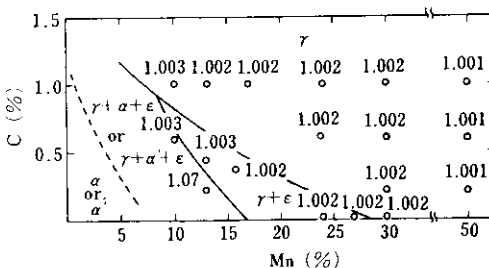


Fig. 1 Phase diagram of Fe-Mn-C at 1100°C and magnetic permeability of the alloys with various composition balance

状態図中、 $\alpha$  または  $\alpha'$  相（いずれもマルテンサイト）を含まない領域では、 $\mu \leq 1.02$  であり（この条件を満足する場合一般に非磁性材料といわれる場合が多い<sup>6)</sup>）、これらの相領域では C および Mn 量の  $\mu$  に対する影響は小さく、実用上  $\mu$  の値はほとんど一定とみなせる。この事実は、Fe-Mn 合金系の  $\gamma$  (オーステナイト) および  $\epsilon$  相 (hcp マルテンサイト) はいずれも磁気的には反強磁性であり<sup>7)</sup>、見掛け上常磁性と変わらないため、これら 2 種類の相だけからなる Fe-Mn 鋼は非磁性鋼と考えてよいことに対応している。このように、非磁

性状の高 Mn 鋼を得るには、 $\gamma$ 相もしくは $\alpha+\gamma$ 相が、種々の使用条件すなわち加工、熱処理、溶接などに対し十分安定となる成分系でなければならない。

次に、水靄処理前の溶体化温度の、水靄処理後の磁性に対する影響を調べた結果を Fig.2 に示す。

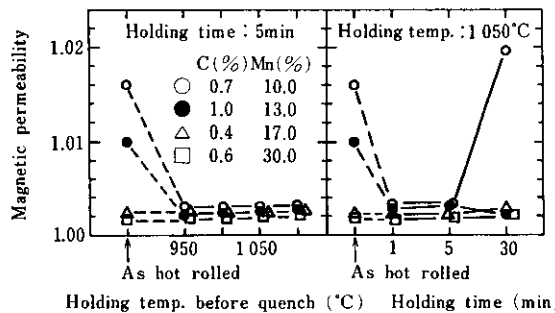


Fig. 2 Effect of solution annealing temperature and holding time on magnetic permeability after water quench

$\alpha-\gamma$ 相境界近傍の組成の場合、 $\gamma$ 相が十分安定でないため熱延のままの状態では透磁率が高い。しかし図示の温度で溶体化・水靄処理すると透磁率は低下する。一方、保持時間の影響をみると図に示すように $\gamma$ 相が不安定な組成(○印)では、長時間の熱処理で透磁率が上昇する。ところが $\gamma$ 相が安定な領域の組成では熱処理条件によらず透磁率は低値に安定している。Fig.3 は同じく透磁率

に及ぼす溶体化処理後の冷却条件の影響を示したもので、1C-13Mn および 1C-17Mn では冷却速度が遅いと $\mu$ は増大するが、1C-30Mn では冷却速度の影響はみられず、 $\mu \approx 1.002$  で一定している。このように、従来の標準 13Mn 鋼(1C-13Mn)は磁気的に不安定であり、安定な非磁性材料を得るにはさらに高 Mn 組成とする必要がある。

### 2-3-2 热膨胀係数

高 Mn 鋼はオーステナイト組織を有し熱膨胀係数 $\beta$ が大きいという特徴がある。Fig.4 に 0~100 °C での平均熱膨胀係数に及ぼす C および Mn の

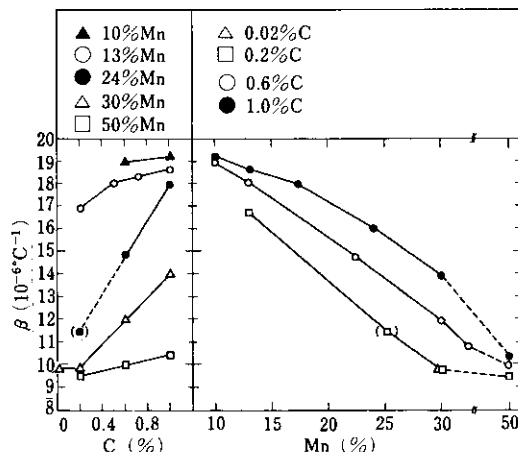


Fig. 4 Effect of C and Mn on thermal expansion coefficient,  $\beta$ , of high manganese steels

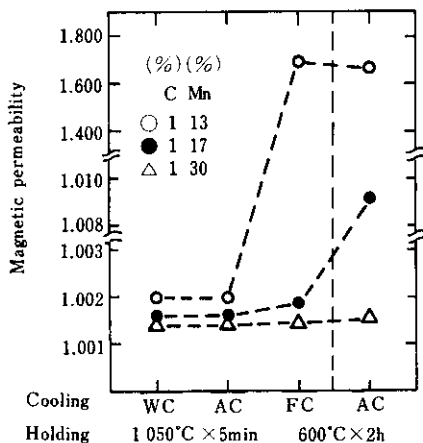


Fig. 3 Effect of cooling condition after solution annealing on magnetic permeability

影響を示す。その特徴は以下のようである。①C 濃度の減少に伴い熱膨張係数は低下する。②この減少率は Mn 10~13 % および 50 % 付近では小さくその中间の組成では大きい。③Mn 濃度の増加により熱膨張係数は減少する。④その減少率は Mn = 30~50 % ではそれ以下の組成の場合より小さい。この結果から熱膨張係数 $\beta$ (10<sup>-6</sup> °C<sup>-1</sup>)と C および Mn 量の関係は次のような線型回帰式で表わすことができる。

$$\beta = 17.66 + 3.82C(\%) - 0.22Mn(\%)$$

なおこの回帰式の寄与率は 85 % である。ここで実用上注すべき点は低 C-高 Mn 組成にすることにより、熱膨張係数が普通鋼の程度以下に低減できることである。

このような熱膨張の特質は磁性と密接に結びついており、高Mn鋼が磁気的には反強磁性を示し非磁性鋼となることに関係している。反強磁性は常磁性の転移温度であるネール温度 ( $T_N$ ) と0～100°Cの平均の $\beta$ との関係をいくつかの高Mn鋼についてFig.5に示す。両者の間にはよい対応があり、 $T_N$ の上昇とともに $\beta$ が低下する。このことはインバー( Invar)合金の膨張率が極めて小さい<sup>8-10)</sup>ことで知られているのと同じ理由による。すなわちネール温度(またはキューリー温度)以下の温

度では、自発体積磁歪と呼ばれる、磁気的原因による膨張が温度の低下とともに増大するため、通常の格子振動による体積変化が打ち消されて、熱膨張が見掛け上小さくなるのである。

一方、水靭温度、冷却条件および時効処理条件などの熱膨張に対する影響はごくわずかで実際上ほとんど問題とならない。

### 2・3・3 機械的性質

Fig.6に室温における結果を示した。その特徴は以下のようである。①1%までの範囲では、Cの増加によりどのMn濃度でも強度、伸びとも上昇する。靭性はMn濃度により挙動が異なり、13Mn鋼ではCの増加により向上し、50Mn鋼では逆の傾向を示し、24～30Mn鋼ではあまりCに依存しない。②他方、10～18%Mnの範囲では、一般にMnが増加すると強度、伸び、靭性とも上昇するが、18～30%Mnではいずれの性質もほとんど一定値を保ち、さらに高Mnになるとむしろ材質が劣化する傾向を示す。このように室温での特性のみを考慮すると、CおよびMnの組成バランスとして広範な適正成分範囲を採用できる。

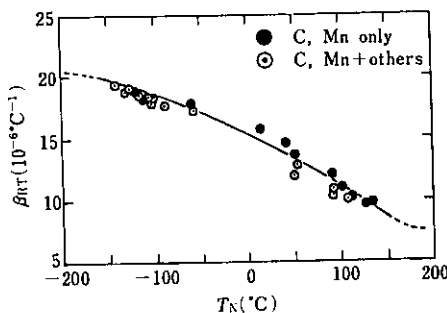


Fig. 5 Relation between Neel temperature,  $T_N$ , and thermal expansion coefficient,  $\beta$

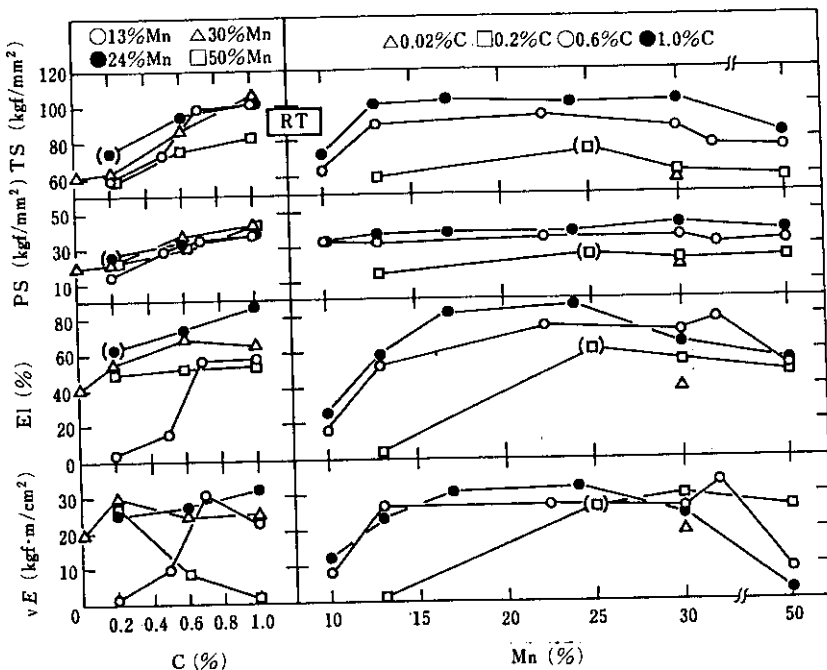


Fig. 6 Effect of C and Mn on mechanical properties of high manganese steels at room temperature

一方、Fig.7は $-196^{\circ}\text{C}$ での結果を示したものでその特徴は以下のようである。①Cの増加により強度が上昇するが、低温の場合その程度はMn濃度の影響を強く受ける。②C一定のとき、Mn組成が10~25%の範囲ではMnの増加とともに強度、伸び、靭性とも上昇するが、それ以上ではむしろ低下するという特徴がある。このことから、低温の機械的性質を考慮すると、室温の場合に比べて特にMnに対して適正成分範囲がより狭い範囲に限定される<sup>11)</sup>ことがわかる。

このように高Mn非磁性鋼の機械的特性は特にMn濃度によって特徴づけられているので、種々の使用目的に応じて適正なMn組成範囲を選択するべきである。

数種の高Mn非磁性鋼の室温以下の機械的性質を低温用鋼の代表的鋼種であるステンレス鋼と比較して示したのがFig.8である。1C-13Mn鋼は室温での強度と靭性は良好であるが低温において靭性、延性の低下が著しくかつ強度も低下する。一方、A鋼B鋼とも低温において延性および靭性の低下がわずかであり、しかも耐力が増加すると

いう特徴を有する<sup>11,12)</sup>。B鋼は温度のいかんを問わず強度が高くかつ低温でも延性および靭性とともに良好である。

開発基礎実験で得られたこのような結果は以下に報告する現場工程による高Mn非磁性鋼製品の製造実験において活用された。

### 3. 高Mn非磁性鋼の製品化ならびに応用例

#### 3.1 高Mn非磁性鋼の製品化とその特性

先に述べた開発基礎実験で得られた結果を参考にしながら、高Mn非磁性鋼製品の現場製造実験を遂行した。当社は從来から13Mn鋼の製造を行っており、H形鋼や異形棒鋼の納入実績もある。

ここでは、

- (1) 13%以上のMnを含有する高Mn鋼の現場製造技術の確立
  - (2) 高Mn鋼の種々の製品形状への適用
  - (3) 現場工程材の製品特性の把握
- などを具体的目標として実験を行った。

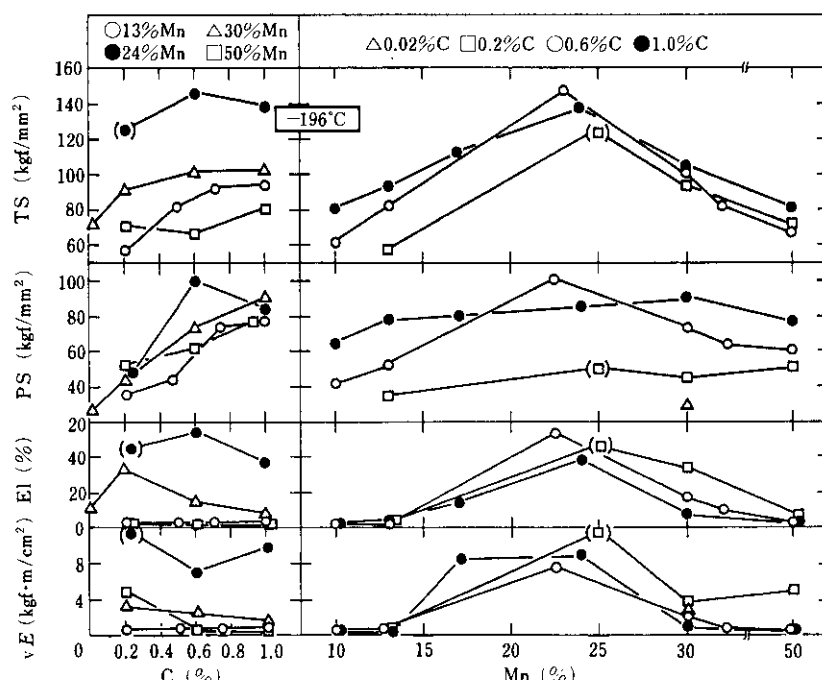


Fig.7 Effect of C and Mn on mechanical properties of high manganese steels at  $-196^{\circ}\text{C}$

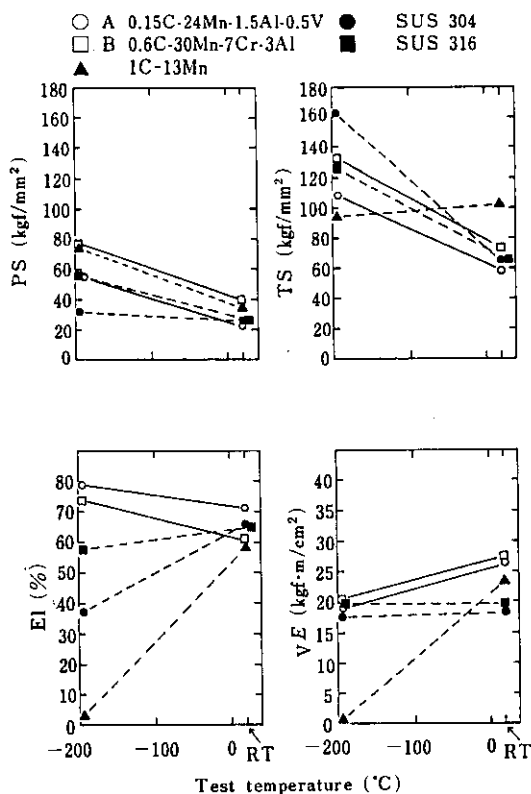


Fig. 8 Temperature dependences of mechanical properties of high manganese non-magnetic steels and stainless steels

実験材の化学成分と製品サイズを Table 1 に示す。H 形鋼については長尺になること、異形棒鋼についてはコンクリートとともに用いられるところからいざれも熱膨張係数を普通鋼程度に下げる必要がある。そのため先の 2・3・2 で述べた結果をふま

えて、表に示したような高 Mn 組成の 24Mn-5Cr 鋼と 30Mn 鋼を選定した。また丸棒と板材についてはボルト、ナット類の製造実験を行うことを兼ねている。この製品では熱膨張係数について考慮する必要がないため前述の鋼種以外の 17Mn-3Cr 鋼を選定した。これらの鋼種を 5t 真空誘導炉で溶解後、以下に示す現場工程で H 形鋼、丸棒、異形棒鋼、板材などを製造した。その際、これら各製品の製造にあたり

- (1) 融点が低く加熱時にバーニングが起こりやすい
- (2) 热伝導率が小さい
- (3) 热間変形抵抗が大きい
- (4) 热膨張率が大きい

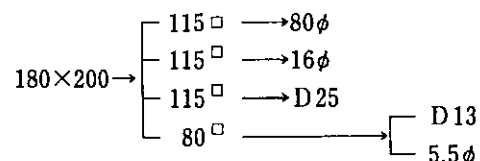
などの材料特性を考慮して加熱圧延条件を設定した。すなわち

H 形鋼：分塊圧延 大形圧延

120×400×470 → H512×212×22×22

丸 棒 } :

分塊圧延 鋼片圧延 棒鋼圧延 線材圧延



(単位: mm)

これらの高 Mn 鋼は変形抵抗が大きいことが特徴であるが、いずれも既存の設備で製造できた。

上記工程にて製造された各製品 (as rolled) の代表的位置における +200~-196°C の範囲の引張

Table 1 Details of 5t vacuum melted high manganese steel ingots

| Product       | Designation             | Chemical compositions (wt.%) |      |      |       |       |      | Product size (mm) |
|---------------|-------------------------|------------------------------|------|------|-------|-------|------|-------------------|
|               |                         | C                            | Si   | Mn   | P     | S     | Cr   |                   |
| H-Shape       | 24Mn-5Cr*<br>(Steel HA) | 0.48                         | 0.55 | 24.7 | 0.020 | 0.007 | 5.70 | 512×212×22×22     |
|               | 0.6C-30Mn<br>(Steel HB) | 0.59                         | 0.56 | 30.5 | 0.013 | 0.006 | —    | "                 |
| Round bar     | 17Mn-3Cr**              | 0.48                         | 0.46 | 16.7 | 0.020 | 0.006 | 3.1  | 5.5φ, 16φ, 80φ    |
| Performed bar | 24Mn-5Cr*               | 0.49                         | 0.48 | 24.3 | 0.017 | 0.008 | 5.38 | D13, D25          |

\*\* Equivalent to DIN-X40MnCr23

\*\* Equivalent to DIN-X40MnCr18

試験結果を Fig.9, 10 に示す。どの製品も  $-196^{\circ}\text{C}$  の低温でもある程度の延性を有しており、特に高 Mn 組成の鋼種は優れた延性と高強度を具備して

いる。Fig.11 には as-rolled 材の V ノッチシャルピー試験による吸収エネルギーの温度依存性を示す。同一鋼種でも製品間で吸収エネルギーに差が

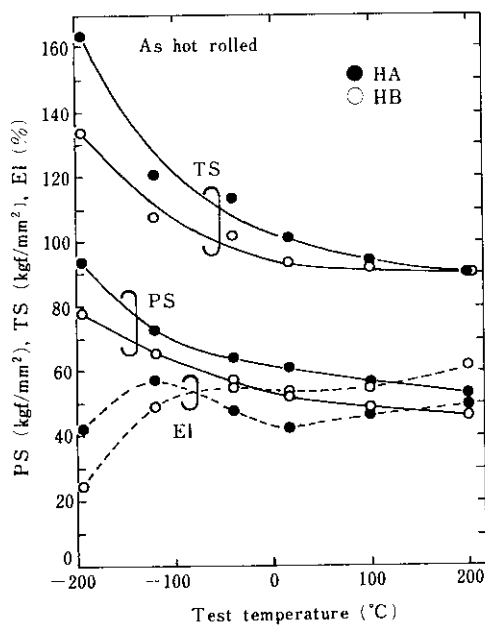


Fig. 9 Tensile properties of H-shapes as a function of test temperature between  $-196^{\circ}\text{C}$  and  $200^{\circ}\text{C}$

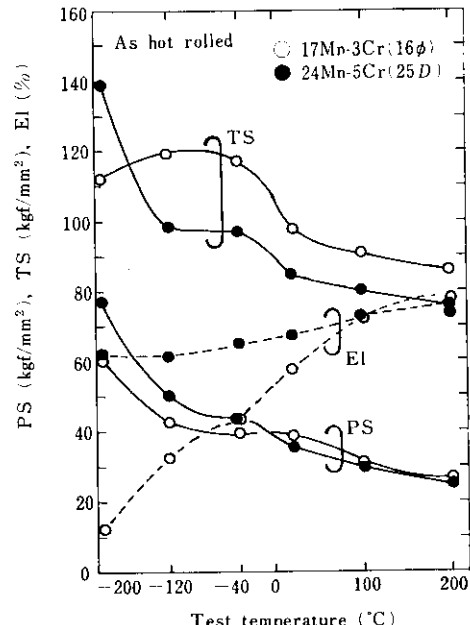


Fig. 10 Tensile properties of round bar and deformed bar as a function of test temperature between  $-196^{\circ}\text{C}$  and  $200^{\circ}\text{C}$

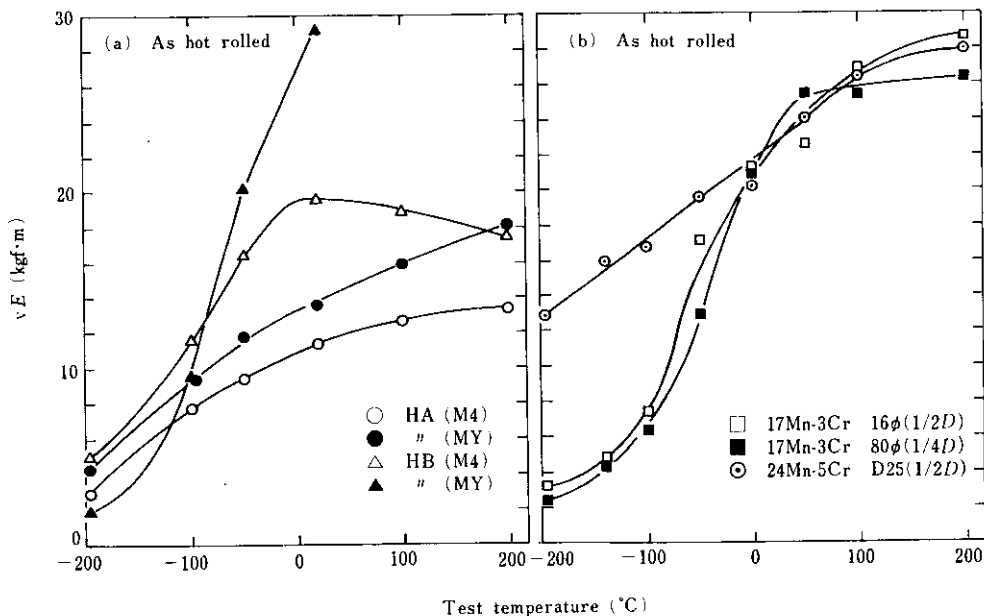


Fig. 11 Charpy impact energy of H-shapes (a), and round bar and deformed bar (b) as a function of test temperature between  $-196^{\circ}\text{C}$  and  $200^{\circ}\text{C}$

あることが注目される。これは熱間加工条件の相違に起因する効果が大きいためと考えられる。

Table 2 に各製品の代表的位置の特性値を示した。いずれも非磁性鋼として優れた特性を確保できた。H形A鋼ならびにB鋼の製品位置による特性値の変化を Fig.12 に示す。T, M, B はそれぞれ鋼塊 Top, Middle, Bottom 相当部を意味し、X, Y などに関しては Fig.13 にその位置を示した。T4, B4, MX, M4 などの各部位での強度上昇が

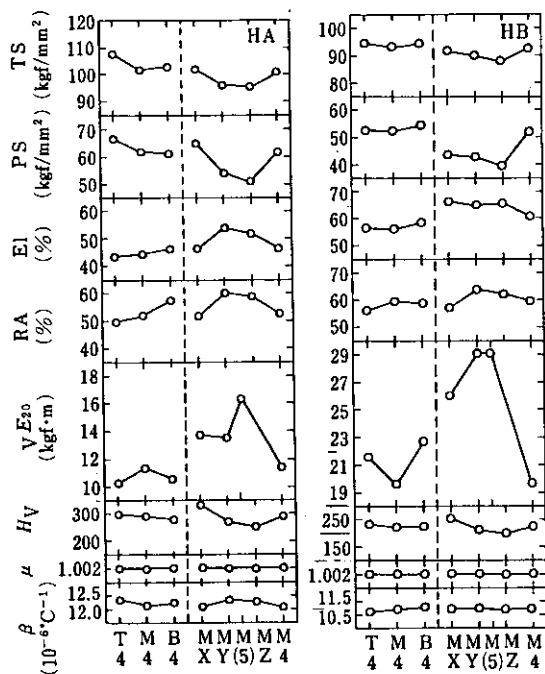


Fig. 12 Variation in properties of H-shapes with specimens at various positions

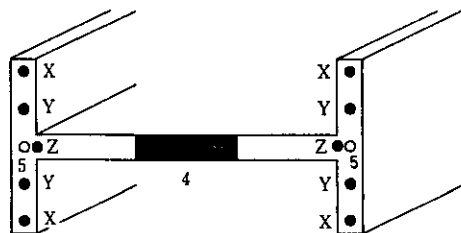


Fig. 13 Illustration of H-shape showing various specimen positions

大きい。Photo. 1 に各位置の光顕組織を示す。強度上昇が大きい前記各部位では、再結晶が不十分で微細組織を呈し、圧延時の残留歪が大きい。Fig. 14 には種々異なる製品サイズからなる丸棒 (17Mn-3Cr) および異形棒鋼 (24Mn-5Cr) の中心位置での引張試験結果を示す。いずれもサイズが小さいほうが高強度を示す傾向がある。これは H 形鋼と同様に圧延時の残留歪が大きいためと考えられる。

なお 24Mn-5Cr 鋼製異形棒鋼のガス圧接試験結果についてはここでは触れないが、13Mn 鋼の場合<sup>13)</sup>と同じくガス圧接が実用的に行えることが認められている。

### 3-2 高 Mn 非磁性鋼の応用例—連鉄用非磁性ロール

高 Mn 非磁性鋼の応用として、連続鋳造機電磁攪拌装置付属のロール材に適用した例について述べる。

連鉄材の組織の均一化および中心偏析の低減を目的として、連鉄機の付属設備に電磁攪拌装置が

Table 2 Properties of high manganese steels shown in Table 1

| Product      | Designation             | Position tested | Physical properties |  | Mechanical properties |              |        |                          |
|--------------|-------------------------|-----------------|---------------------|--|-----------------------|--------------|--------|--------------------------|
|              |                         |                 | $\mu^*$             | $\beta^{**} (10^{-6} \text{ }^\circ\text{C}^{-1})$ | PS (kgf/mm²)          | TS (kgf/mm²) | EI (%) | vE <sub>20</sub> (kgf·m) |
| H-Shape      | 24Mn-5Cr<br>(Steel HA)  | flange 1/4      | 1.002               | 12.2   | 55                    | 96           | 54     | 13.5                     |
|              |                         | web 1/2         | 1.002               | 12.1   | 62                    | 101          | 46     | 11.3                     |
|              | 0.6C-30Mn<br>(Steel HB) | flange 1/4      | 1.002               | 11.0   | 44                    | 90           | 66     | 29.1                     |
|              |                         | web 1/2         | 1.002               | 11.0   | 52                    | 92           | 61     | 19.6                     |
| Round bar    | 17Mn-3Cr                | 16φ 1/2 D       | 1.002               | 14.9   | 39                    | 97           | 57     | 21.8                     |
| Deformed bar | 24Mn-5Cr                | D 251/2 D       | 1.002               | 11.9   | 35                    | 85           | 67     | 21.5                     |

\* Magnetic permeability

\*\* Thermal expansion coefficient

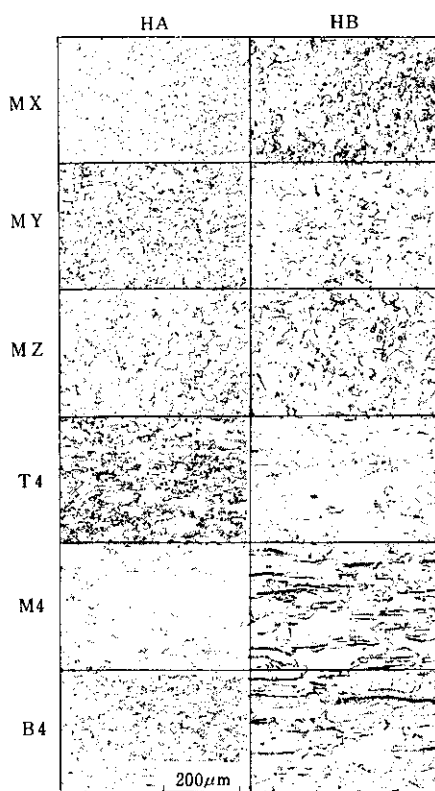


Photo. 1 Microstructures of H-shapes at each portion shown in Fig. 13

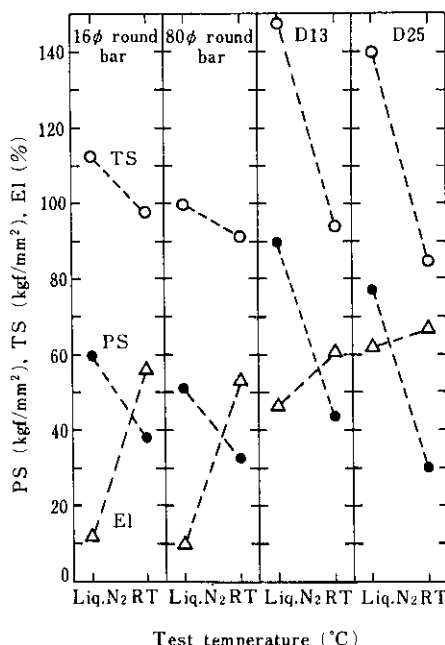


Fig. 14 Effect of product size on mechanical properties of round bar and deformed bar

備え付けられるようになりつつあるが、その付設ロール材には磁場の乱れを防止するため非磁性材を用いる必要がある。これに高 Mn 非磁性鋼を初めて適用することになった。

### 3・2・1 規格と成分設計

ロール素材の棒鋼を当社が製造し、ロールの製作・加工は外注によった。素材の製造にあたって目標とした機械的性質および透磁率の規格は Table 3 のとおりである。そして次の諸要因を考慮して

Table 3 Specification of non-magnetic EMS rolls for continuous casting

| Temperature | PS (kgf/mm <sup>2</sup> ) | TS (kgf/mm <sup>2</sup> ) | v E (kgf·m) | $\mu$      |
|-------------|---------------------------|---------------------------|-------------|------------|
| RT          | ≥40                       | ≥80                       | ≥15         | $\leq 1.1$ |
| (200°C)     | (≥33)                     | (≥66)                     | —           |            |
| (400°C)     | (≥30)                     | (≥61)                     | —           |            |
| (600°C)     | (≥27)                     | (≥55)                     | —           |            |

( ) : Preferable range

材料の成分設計を行った。

- (1) 成分と強度の関係
- (2) 高温強度および高温摩耗
- (3)  $\gamma$ 相の磁気的安定性および熱膨張
- (4) 添加元素の析出硬化
- (5) 被削性（機械加工性）および溶接性
- (6) 製造性（鋼塊割れ、熱間加工性）
- (7) 特許および材料コスト

これら各要因に対する検討は、前章に述べた実験用小型鋼塊による開発基礎実験で得られた結果を参考にして行われた。ここで要因(1)を検討するために使用した 0.5C-13Mn 鋼における成分 1wt%<sup>3,14-16</sup>あたりの強度変化のデータを Table 4 に示す。

以上を勘案した結果決定した成分組成ならびに予想強度を Table 5 に示す。すなわち従来の高 Mn 鋼 1C-13Mn (Hadfield 鋼) に比べて、低 C-高 Mn の V 添加（固溶および析出硬化のため）鋼である。

### 3・2・2 製造および試験結果

#### (1) 製造工程

製造工程は次のとおりである。

溶解・精錬 → 分塊 →  
(EF-LRF(脱ガス)) [340×350]

Table 4 Change in strength of high manganese standard steel by addition of each element by 1 wt. %

| Source  | Proof strength (kgf/mm <sup>2</sup> ) |    |    |     |      |      |     | Tensile strength (kgf/mm <sup>2</sup> ) |      |    |      |      |      |     |
|---|---------------------------------------|----|----|-----|------|------|-----|---|------|----|------|------|------|-----|
|   | C                                     | Si | Mn | Cr  | Ni   | V    | Mo  | C                                       | Si   | Mn | Cr   | Ni   | V    | Mo  |
| Own results   | ~15                                   | ~1 | ~0 | ~3  | (~0) | ~12  | ~4  | 15~30                                   | (~0) | ~0 | ~2.5 | (~0) | (~0) | —   |
| Irvine et al. <sup>13)</sup>                          | 36.2                                  | —  | —  | 0.4 | —    | 1.9  | 1.5 | 55.1                                    | —    | —  | 0    | —    | 0    | 1.9 |
| Handbook for alloy Steel (in Japanese) <sup>15)</sup> | ~7                                    | ~1 | ~0 | ~2  | ~0   | ~8   | ~4  | —                                       | —    | —  | 1.5  | —    | —    | —   |
| Sawa <sup>3)</sup>                                    | —                                     | —  | 0  | ~3  | 0    | ~10  | ~3  | —                                       | —    | 0  | ~2   | 0    | ~14  | ~2  |
| Kato et al. <sup>16)</sup>                            | 16.2                                  | —  | —  | 2.0 | —    | 11.0 | 3.1 | 29.5                                    | —    | —  | 1.2  | —    | 10.3 | 1.9 |
| Used value estimated from above                       | 10                                    | 1  | 0  | 2   | 0    | 10   | 3   | ~20                                     | (0)  | 0  | 1.5  | 0    | ~10  | 2   |

Standard steel (0.5C-0.5Si-13Mn) : PS : 29kgf/mm<sup>2</sup>, TS : 85kgf/mm<sup>2</sup>

Table 5 Recommended chemical composition for non-magnetic EMS roll and its estimated strength at room temperature

| Chemical composition (%) |     |    |       |       |     |     |     | PS<br>(kgf/mm <sup>2</sup> ) | TS<br>(kgf/mm <sup>2</sup> ) |    |
|--------------------------|-----|----|-------|-------|-----|-----|-----|------------------------------|------------------------------|----|
| C                        | Si  | Mn | P     | S     | Cr  | Ni  | V   | N                            |                              |    |
| 0.6                      | 0.5 | 18 | ≤0.02 | ≤0.03 | 5.5 | 1.0 | 0.5 | 0.02                         | 43                           | 88 |

大形圧延 → 溶体化・水靄処理 →  
 [240~290φ] (1080°C×6h WQ)  
 材料試験→ 機械加工 →溶接・仕上加工  
 200φ(55φ内孔) (外注)  
 270φ(150φ内孔)  
 →連鉄ショップ

(単位:mm)

## (2) レードル分析・欠陥検査

Table 6 に 2 チャージそれぞれのレードル分析値を示す。鋼塊トップ, ミドル, ポトム相当部について地底試験を行った結果, いずれも無欠陥であった。また超音波探傷試験およびカラーチェックの結果, 中心部 20~60φ の範囲にザク状欠陥が検出されたが, 240φロールは 55φの, 290φ ロールは 150φの穴あけ加工で除去されるため障害にはならなかった。

## (3) 確性試験結果

透磁率  $\mu$  は as-rolled 材もしくは溶体化処理材で 1.002~1.012 である。ただしガス切断面では 1.08 であった。いずれも Table 3 に示す規格 ( $\mu \leq 1.1$ ) を満足している。室温の平均熱膨張係数は (14.5~15.2) × 10<sup>-6</sup> (°C<sup>-1</sup>) である。溶体化 (1080°C × 6h) 水靄処理後の室温での引張りおよび衝撃試験の結果を 240φの場合について Table 7 に示す。常温での機械的性質は Table 3 の規格を満足しており Table 5 に示した予想強度ともよく一致している。なお高温強度の耐力は Table 3 の参考値より下まわっている。

## 3-2-3 使用状況と今後の方針

高 Mn 非磁性ロールとして 220φ および 270φ の 2 種類のロールを使用しているが, 220φ ロールに偏心が生じた。この原因の一つとして高温強度(耐力)の不足が推定されたので析出時効処理(820°C

Table 6 Chemical analysis of non-magnetic EMS roll having nominal composition of 18Mn-5.5Cr (%)

| No. | C    | Si   | Mn    | P     | S     | Cr   | Ni   | V    | N      | Note            |
|-----|------|------|-------|-------|-------|------|------|------|--------|-----------------|
| 1   | 0.56 | 0.46 | 17.70 | 0.017 | 0.002 | 5.32 | 0.96 | 0.51 | 0.0310 | for 220mmφ roll |
| 2   | 0.58 | 0.50 | 17.90 | 0.016 | 0.002 | 5.50 | 0.97 | 0.49 | 0.0433 | for 270mmφ roll |

Table 7 Mechanical properties of non-magnetic EMS roll (240mmφ) having nominal composition of 18Mn-5.5Cr after solution heat treated at 1080°C for 6h followed by water cool

| Temp.<br>(°C) | Position<br>tested | PS<br>(kgf/mm <sup>2</sup> ) | TS<br>(kgf/mm <sup>2</sup> ) | EI<br>(%) | RA<br>(%) | v E <sub>20</sub><br>(kgf·m) |
|---------------|--------------------|------------------------------|------------------------------|-----------|-----------|------------------------------|
| RT            | Surface            | 46                           | 89                           | 68        | 56        | 20.2                         |
|               | D/4                | 43                           | 87                           | 67        | 56        | 20.7                         |
| 200           | Surface            | 32.1                         | 82.4                         | 82        | 57        |                              |
|               | D/4                | 31.1                         | 83.0                         | 82        | 60        |                              |
| 300           | Surface            | 31.5                         | 68.4                         | 75        | 74        |                              |
|               | D/4                | 30.8                         | 67.8                         | 71        | 74        |                              |
| 400           | Surface            | 27.6                         | 60.8                         | 57        | 76        |                              |
|               | D/4                | 27.1                         | 61.1                         | 61        | 78        |                              |
| 500           | Surface            | 20.6                         | 55.9                         | 46        | 73        |                              |
|               | D/4                | 20.3                         | 55.5                         | 50        | 72        |                              |

Table 8 Mechanical properties of non-magnetic EMS roll (240mmφ) having nominal composition of 18Mn-5.5Cr after age-hardening treatment (1080°C×6h W.C.→820°C×8h F.C.)

| Temp.<br>(°C) | Position<br>tested | PS<br>(kgf/mm <sup>2</sup> ) | TS<br>(kgf/mm <sup>2</sup> ) | EI<br>(%) | RA<br>(%) | v E <sub>20</sub><br>(kgf·m) |
|---------------|--------------------|------------------------------|------------------------------|-----------|-----------|------------------------------|
| RT            | Surface            | 53                           | 83.0                         | 16        | 17        | 2.1                          |
|               | D/4                | 49                           | 82.0                         | 16        | 16        | 2.5                          |
| 200           | Surface            | 49                           | 82.7                         | 26        | 33        |                              |
|               | D/4                | 46.5                         | 78.3                         | 22        | 36        |                              |
| 300           | Surface            | 42.5                         | 73.0                         | 30        | 35        |                              |
|               | D/4                | 43.1                         | 73.6                         | 31        | 36        |                              |
| 400           | Surface            | 38.2                         | 66.4                         | 39        | 56        |                              |
|               | D/4                | 36.3                         | 65.8                         | 38        | 53        |                              |
| 500           | Surface            | 30.4                         | 57.6                         | 34        | 66        |                              |
|               | D/4                | 31.1                         | 57.5                         | 34        | 62        |                              |
| 600           | Surface            | 27.5                         | 46.3                         | 31        | 69        |                              |
|               | D/4                | 27.1                         | 47.2                         | 28        | 62        |                              |
| 700           | Surface            | 26.9                         | 35.1                         | 26        | 50        |                              |
|               | D/4                | 25.9                         | 34.9                         | 32        | 53        |                              |

×8h・炉冷)を施した。その結果をTable 8に示す。それによると室温から700°C付近までの全温度域で耐力は約10kgf/mm<sup>2</sup>程度上昇しており、こ

の熱処理効果(耐力上昇および残留歪の除去)と水冷の強化によってロールの曲りは大幅に低下した。一方、270φロールには曲りの問題は生じていない。

通常の高Mn鋼を高温用途に使用する場合、材質面での要注意点として、

- (1) 热膨張係数が大きい
- (2) 热伝導が悪い
- (3) 高温强度(耐力)が十分でない
- (4) 耐クリープ强度が十分でない
- (5) 高温耐腐食性が劣る

などがあげられる<sup>15,17)</sup>。非磁性ロール使用時に特に重要な(3)と(5)について現在改良実験を行っており、その成果が得られつつある。

非磁性ロールの例で示すような高温での使用例が端緒となって高Mn非磁性鋼が幅広く高温用途にも利用されることを期待する。

#### 4. 高Mn非磁性鋼の各種材質試験

3.1および3.2で述べた各鋼種(24Mn-5Cr, 0.6C-30Mn, 17Mn-3Cr, 18Mn-5.5Cr)はいずれも、高Mn非磁性鋼の代表的鋼種でもあるので、これらに対して、開発・研究の一環としてそれぞれ以下に述べる材質試験を行った。

##### 4-1 溶体化処理後の物理的・機械的性質

Table 9に物理的性質の一覧表を示した。熱伝導率が小さいのが高Mn鋼の特徴である。Fig.15に溶体化処理後の引張試験結果を示す。24Mn-5Cr, 30Mn鋼の場合はいずれもas-rolled材に比べて耐力、引張強さが約20~30kgf/mm<sup>2</sup>程度減少する。Fig.16には溶体化処理後のVノッチシャルピー試験による吸収エネルギーを示す。24Mn-5Cr鋼では溶体化水韌処理によりas-rolled材に比べて、靭性が著しく改善されているのが特徴である。

##### 4-2 冷間圧延による特性の変化

各鋼種に対して溶体化水韌処理後、冷間圧延率を10~40%に変化させて引張試験や透磁率の測定を行った。室温における結果をFig.17に示す。耐力、引張強さ、硬度は冷間圧延率の増加に伴い上昇し伸びは減少する。磁化率( $\chi$ )はHA鋼とHB

Table 9 Physical properties of high manganese non-magnetic steels along with low carbon steel and austenitic stainless steel

| Product  | H-shape                | H-shape                 | Steel bar | Deformed steel bar | CC-EMS roll | Low carbon steel | Austenitic stainless steel (SUS304) |
|--|------------------------|-------------------------|-----------|--------------------|-------------|------------------|-------------------------------------|
| Designation  | 24Mn-5Cr<br>(Steel HA) | 0.6C-30Mn<br>(Steel HB) | 17Mn-3Cr  | 24Mn-5Cr           | 18Mn-5.5Cr  |                  |                                     |
| Magnetic permeability, $\mu$   | 1.002                  | 1.002                   | 1.002     | 1.002              | 1.002       | >230             | 1.02                                |
| Thermal expansion coefficient, $\beta \times 10^{-6} \text{ }^{\circ}\text{C}^{-1}$    | 12.2                   | 11.0                    | 14.9      | 11.9               | 15.0        | 12.6             | 17.3                                |
| Young's modulus ( $10^4 \text{ kgf/mm}^2$ )  | 1.82                   | 1.73                    | 1.73      | —                  | 1.93        | 2.11             | 1.97                                |
| Density ( $\text{g/cm}^3$ )  | 7.73                   | 7.73                    | 7.77      | —                  | 7.76        | 7.85             | 8.03                                |
| Thermal conductivity ( $\text{cal/cm} \cdot \text{s} \cdot \text{ }^{\circ}\text{C}$ ) | 0.039                  | 0.032                   | 0.036     | —                  | 0.040       | 0.145            | 0.039                               |
| Electrical resistivity ( $\mu\Omega \cdot \text{cm}$ )                                 | 77.8                   | 84.8                    | 68.3      | —                  | 74.2        | 13.0             | 72                                  |

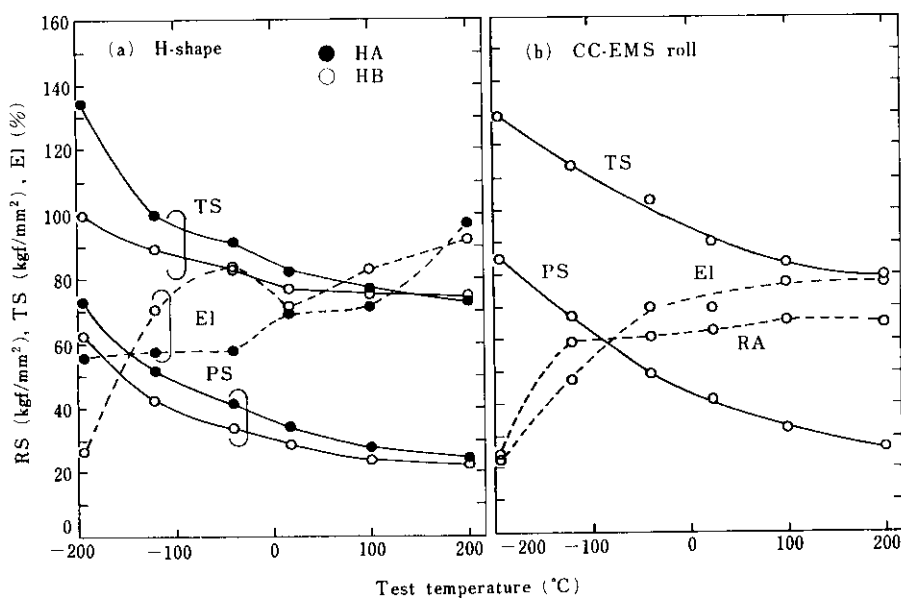


Fig. 15 Temperature dependence of tensile properties of H-shapes (a), and CC-EMS roll (b), solution annealed and then water cooled

鋼では変化せず、CC 鋼では冷間圧延率が 20 %を越すと増大する。Fig. 18 には  $-196^{\circ}\text{C}$  での引張試験結果を示す。室温の場合と比較して強度は相対的に大きいが、伸びは全般的に小さい。いずれの試験温度でも圧延率の増加に伴いそれぞれ著しい

加工硬化を示しており、鋼種間であまり差がない。

#### 4・3 時効処理の影響

高 Mn 鋼の非磁性状態の安定性はオーステナイト相の安定度に依存している。高 Mn 鋼を高温で

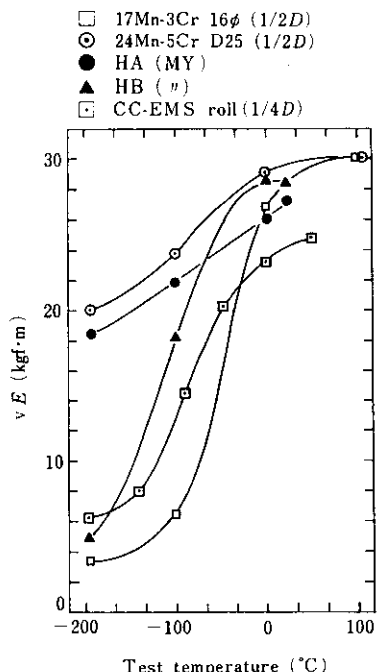


Fig. 16 Charpy impact energy of various high manganese steels solution annealed and then water cooled

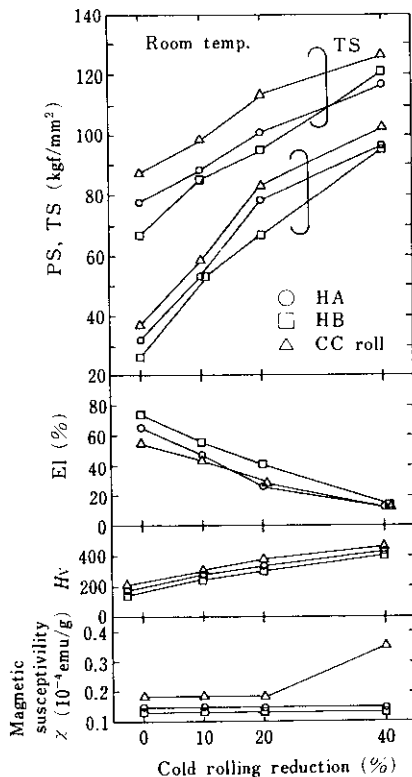


Fig. 17 Effect of cold rolling on mechanical and magnetic properties of various products at room temperature

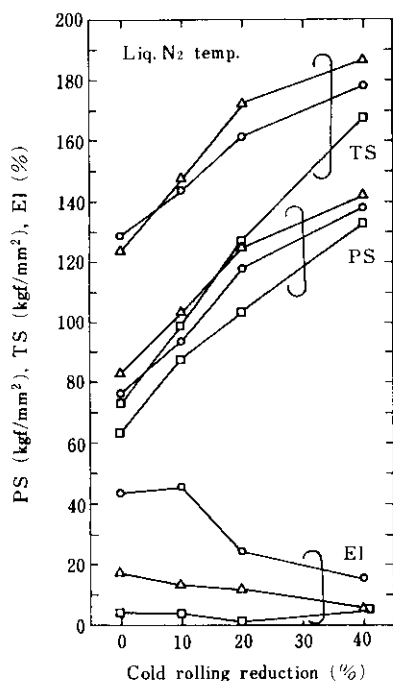


Fig. 18 Effect of cold rolling on mechanical properties of various products at -196°C (Liq. N<sub>2</sub> temp.)

熱処理することにより炭化物やパーライトの析出による磁化の増加が予想される<sup>18)</sup>ので、これらの熱的安定性をみるために550~1050°Cの温度範囲で30min~80hの熱処理を行い、その後組織観察ならびに硬度および磁化の測定を行った。硬度・光頭試料(10mmφ)および磁化測定試料(5mmφ)はいずれも薄板にくるんで熱処理を行い、表面の酸化を防止するように努めた。熱処理後の表面層は若干酸化されていたので表面をペーパー研磨仕上げをした後に磁化測定を行った。

Fig. 19に硬度の変化を、Fig. 20に1Tでの磁化( $\sigma$ )の変化を示す。HA鋼とHB鋼は時効硬化元素を含んでおらず熱処理による硬度変化はほとんど現われない。一方Vを添加したCC鋼では750~850°Cの間にノーズを有する析出曲線が現われる。

磁化測定の結果では10h以内の熱処理に対して、各試料ともほとんど変化はみられない。30h以降の熱処理に対しては650°C以上の温度で値が増加

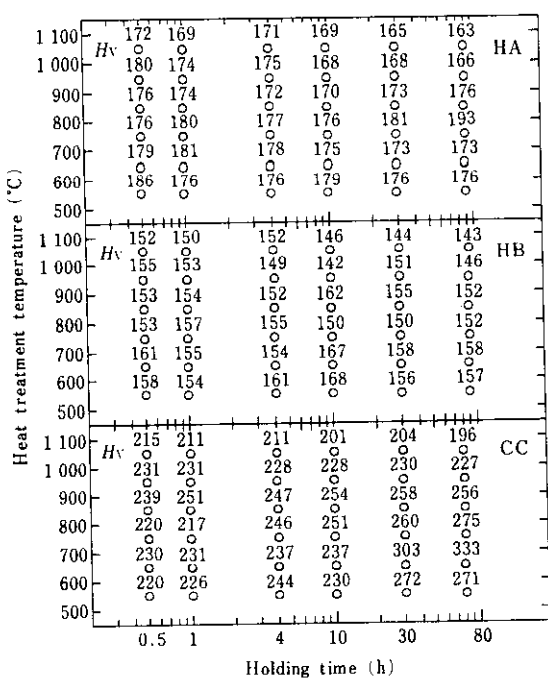
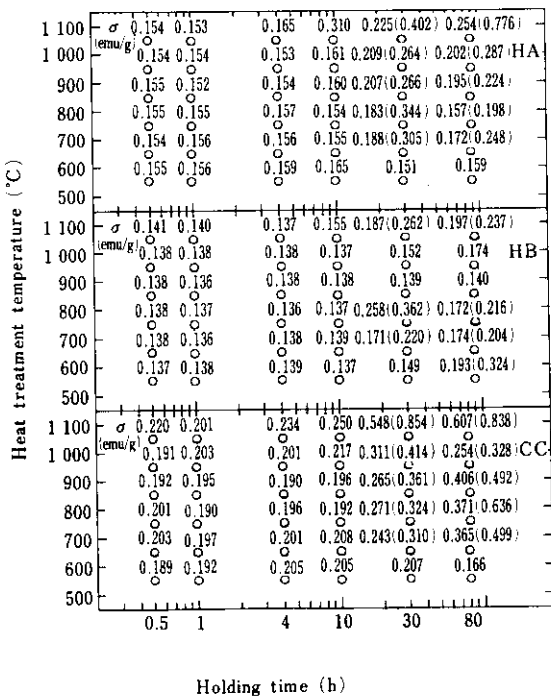


Fig. 19 Effect of isothermal heat treatment on hardness of high manganese steels

Fig. 20 Effect of isothermal heat treatment on magnetization ( $\sigma$ ) of high manganese steels

する傾向がみられる。各鋼とも熱処理後の表面層の除去が不十分な場合、磁化は大きな値として観察された（図にはそのときの値を（ ）内に示した）。しかし HA 鋼と HB 鋼では、表面研磨が十分行われれば磁化は低値に安定しており、熱処理による磁化への影響は実用上問題はない。他方 CC ロール鋼は前の 2 鋼種に比べて若干大きい値を示すが、700°C 付近までの温度での使用においては問題はない。

#### 4・4 高温引張試験結果

高 Mn 鋼の高温強度に関するデータはあまり報告されていない。HA, HB, CC ロールの 3 鋼種の溶体化水素処理後の試験結果を Fig. 21 に示す。

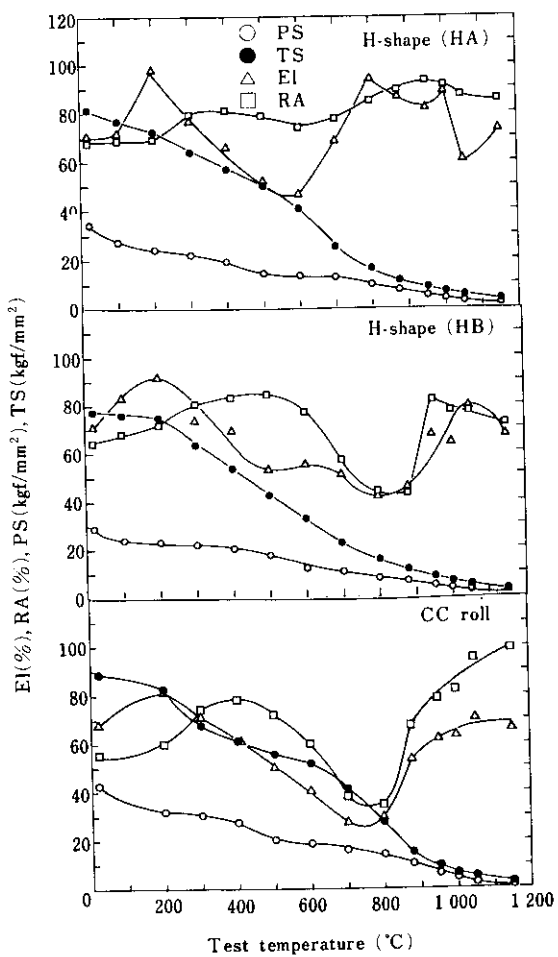


Fig. 21 Change in tensile properties of H-shapes and CC-EMS roll in the region of elevated temperatures

一般に高Mn鋼の高温強度はステンレス鋼や耐熱鋼にくらべると低いと見なされているが、ここに示した3鋼種の例からもわかるように高温強度(特に耐力)は成分系で大きく異なり、適切な成分系を選べば高Mn鋼を高温用途にも適用できることが示唆された。

#### 4・5 被削性

高Mn非磁性鋼は加工硬化能が大きく耐摩耗性に優れているため切削加工が困難な材料である。このことが機械的・物理的特性に優れた面を有するにもかかわらず本鋼の用途が制約される理由の一つに挙げられる。そこで被削性改良実験の一環として現場製造材による長手旋削性試験およびドリル穿孔性試験を行った。

Fig.22は13Mn, 17Mn-3Cr, 18Mn-5.5Cr(-1Ni-0.5V), 24Mn-5Cr, SUS304各鋼のas-rolled材の(ただし18Mn-5.5Crは溶体化処理材をも加えた)長手旋削性試験を、送り0.3mm/rev., 工具寿命判定 $V_B$ (フランク摩耗)=0.1mmで行ったと

- ◎ 24Mn-5Cr(As-rolled)
- ☆ SUS 304(As-rolled)
- 17Mn-3Cr(As-rolled)
- 18Mn-5.5Cr(As-rolled)
- 18Mn-5.5Cr(SHT) )
- ▲ 13Mn (As-rolled)

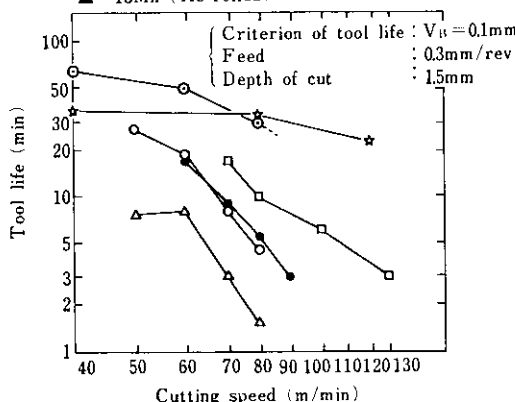


Fig. 22 Tool life curves in turning of high manganese steels

きの $V$ (切削速度)- $T$ (工具寿命)線図である。切削性の良好なものから並べると、

SUS304 $\geq$ 24Mn-5Cr $>$ 17Mn-3Cr $>$ 18Mn-5.5Cr(溶体化処理材) $\geq$ 18Mn-5.5Cr(as-rolled)  
 $>$ 13Mn

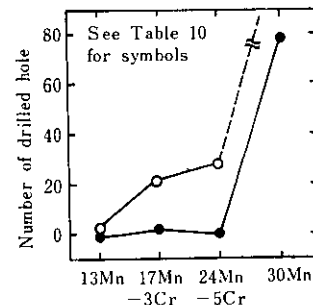


Fig. 23 Drill life curves in boring of high manganese steels

となる。Fig. 23は13Mn, 17Mn-3Cr, 24Mn-5Crおよび30Mn各鋼種のas-rolled材のドリル穿孔性試験結果である。10φ×15mm深さのめくら孔をあけ、切削不能となるまでの個数を計測した。用いた機械はラジアルボール盤で切削油を使用した。工具と穿孔条件はTable 10のようである。穿孔性の良好なものから並べると

30Mn $>$ 24Mn-5Cr $>$ 17Mn-3Cr $>$ 13Mn

となり前述の長手旋削試験結果と同一の傾向となっている。30Mn鋼はハイストリル(SKH9)による穴あけが可能であることが注目される。

Table 10 Cutting conditions for drilling test

|   | Tool       | Point angle | Feed       | Cutting speed |
|---|------------|-------------|------------|---------------|
| ● | SKH9 10mmφ | 135°        | 0.05mm/rev | 4.4m/min      |
| ○ | K 20 10mmφ | 135°        | 0.025      | 14.1          |

Depth of hole: 15mm (blind)  
Judgement of drill life: Drill failure

#### 4・6 高Mn非磁性鋼の溶接継手性能

高Mn非磁性鋼の溶接性能を把握するため溶接継手試験を行った。この場合同材継手のほかにSM-50との異材継手試験も行った。母材、溶接材料、溶接条件および継手性能試験結果をTable 11に示す。溶接後のX線割れ検査や組織観察において割れは観察されず、またサイドベンド試験結果からも溶接状況は良好であることが認められた。同材継手の透磁率の上昇はほとんどみられなかった。他方、SM-50との異材継手の透磁率の上昇はFig. 24に示すように溶接部のごく近傍に限ら

Table 11 Base metal, welding condition and mechanical properties and magnetic permeability of weld joints

| Steel               | Nominal composition<br>of base metal | Weld joints with same material |                              |                              |                            | Weld joints with SM50        |                              |                            |
|---------------------|--------------------------------------|--------------------------------|------------------------------|------------------------------|----------------------------|------------------------------|------------------------------|----------------------------|
|                     |                                      | $\mu$                          | PS<br>(kgf/mm <sup>2</sup> ) | TS<br>(kgf/mm <sup>2</sup> ) | $\sqrt{E_{20}}$<br>(kgf·m) | PS<br>(kgf/mm <sup>2</sup> ) | TS<br>(kgf/mm <sup>2</sup> ) | $\sqrt{E_{20}}$<br>(kgf·m) |
| HA                  | 0.5C-24Mn-5Cr                        | 1.006                          | 63                           | 85                           | 13.5                       | 34                           | 53                           | 14.8                       |
| CC                  | 0.6C-18Mn-5.5Cr-1Ni-0.5V             | 1.006                          | 49                           | 85                           | 13.8                       | 33                           | 53                           | 13.3                       |
| D                   | 0.15C-24Mn-5Cr-1.5Al-0.3V            | 1.007                          | 33                           | 63                           | 14.2                       | 34                           | 53                           | 15.3                       |
| Welding method      | Manual                               |                                |                              |                              |                            |                              |                              |                            |
| Welding material    | MC-16                                |                                |                              |                              |                            |                              |                              |                            |
| Plate thickness     | 22mm                                 |                                |                              |                              |                            |                              |                              |                            |
| Location of V-notch | Weld metal                           |                                |                              |                              |                            |                              |                              |                            |

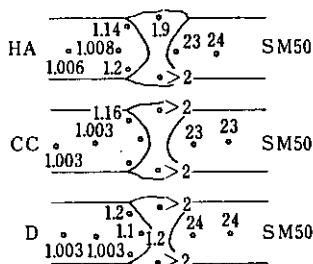
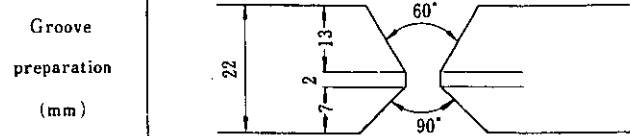


Fig. 24 Magnetic permeability on weld joints of high manganese steels

れどおり実用上問題はない。なお、この場合の透磁率はマグネットスコープによる簡易非破壊測定法により求めた。Fig. 25 には同材ならびに SM-50 との異材継手部の引張試験結果をまとめて示した。同材継手の耐力は母材のそれよりも増加しており、引張強度は D 鋼のみ変化せず他は母材より低下している。このとき破断位置は HA 鋼、CC ロール鋼の室温以上の試験ではすべて溶接金属中央部で生じ、D 鋼ではすべて母材側で生じた。他方、異材継手の場合、HA 鋼と CC ロール鋼の強度は SM-50 の強度に依存しており室温から 400°Cまでの温度範囲では耐力の減少は少なく、いずれも PS  $\geq$  30kgf/mm<sup>2</sup> である。D 鋼の場合は温度上昇とともに耐力が減少するが 400°Cまでは PS  $\geq$  20kgf/mm<sup>2</sup> となっている。そして破断位置は HA 鋼と CC 鋼ではすべて SM-50 側で、また D 鋼では 200°C、400°C以外の試験温度において SM-50 側で生じた。Fig. 26 にノッチ位置を溶接金属中央部に設けたときの

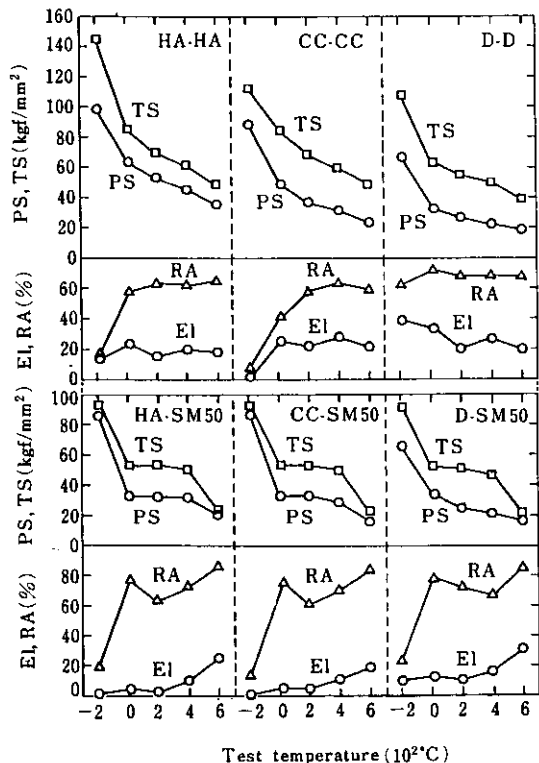


Fig. 25 Tensile properties of weld joints of high manganese steels at various temperatures

異材継手のシャルピー衝撃試験による吸収エネルギーの測定結果を示す。どの鋼種の場合も室温で 13~15kgf·m 程度の値を示し、溶接棒 “MC-16” の溶接金属の衝撃値そのものを示していると考えられる。

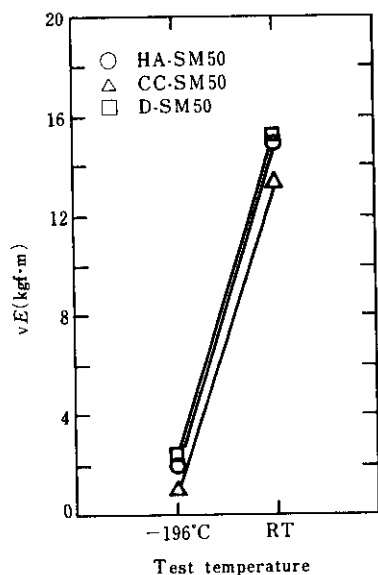


Fig. 26 Charpy impact energy of weld joints of high manganese steels at  $-196^{\circ}\text{C}$  and room temperature

このように高 Mn 鋼は同材継手のほか普通鋼との異材継手を行って使用することができる。なお

溶接試験についてはこの試験以外にも詳しい試験が行われている。

## 5. 結 言

高 Mn 非磁性鋼の熱膨張や磁性などの物理的性質ならびに機械的性質に対する、基本成分である C および Mn の影響を調べ、広範な需要・用途に適用しうる成分系からなる新鋼種を開発した。

そして現場製造技術の確立および工程材の諸特性を把握するために 5t 鋼塊を溶製して H 形鋼、丸棒、異形棒鋼を現場工程で製造し、良好な特性が得られることを確かめた。さらに高 Mn 非磁性鋼の実製品への応用例として連続铸造機の電磁攪拌装置付属のピンチロール材をとりあげ、前述の現場工程材とあわせて製品試験結果ならびに低温 ( $-196^{\circ}\text{C}$ ) から高温にわたる機械的・物理的性質および溶接継手性能などについて論述した。

以上から高 Mn 非磁性鋼は優れた諸性質を有し、今後種々の用途に適用範囲が拡大されてゆくものと期待される。

## 参 考 文 献

- 1) 日本鉄鋼協会編：新版鉄鋼便覧，(1962)，1455 [丸善]
- 2) 橋浦広吉：日本金属学会報，16 (1977) 10, 681
- 3) 沢 繁樹：日本金属学会報，18 (1979) 8, 573
- 4) 斎藤利生：日本金属学会誌，27 (1963) 8, 376
- 5) H.Shumann : Neue Hütte, 17 (1972) 10, 605
- 6) 高田 寿：特殊鋼，28 (1979) 5, 8
- 7) 近角ほか編集：磁性体ハンドブック，(1975)，397 [朝倉書店]
- 8) 近角、溝口：固体物理，3 (1968) 2, 67
- 9) 斎藤、藤森：日本金属学会報，7 (1968) 5, 263
- 10) 近角ほか編集：磁性体ハンドブック，(1975)，341 [朝倉書店]
- 11) 佐々木、渡辺、野原、近藤、小野、佐藤、一瀬：鉄と鋼，67 (1981) 2, A81
- 12) 佐々木、渡辺、野原、小野、大橋：鉄と鋼，66 (1980) 4, S351
- 13) 滝沢、菊川：日本建築学会大会梗概集，(1980, 9)，演習番号1106
- 14) K.J.Irvine, T.Gladman, and F.B.Pickering : JISI, 207 (1969) 7, 1017
- 15) 電気製鋼研究会編：特殊鋼便覧 (1969)，12章 [理工学社]
- 16) 加藤、藤倉、川崎、石田：鉄と鋼，65 (1979), S372
- 17) ASM編：Metals Handbook, 1 (1961), 834
- 18) 今井、斎藤：鉄と鋼，46 (1960) 6, 665